

آونگ - فوکو

احمد شریعتی

آونگ - فوکو مسئله ای است بسیار معروف، که تقریباً در هر کتاب - مکانیک ی چند خط ی درباره اش هست، اما تقریباً در هیچ جا به دقت به آن پرداخته نمی شود. این مقاله کوشش ی است برای - پر کردن - این خلاء. در این مقاله حرکت - آونگ را به دقت بررسی می کنیم. بخش - مهم ی از مقاله معرفی ی - کار - کامرلینخ اُنِس^(a) در مورد - آونگ - فوکو است.

1 مقدمه

تا پیش از دوران - نوآیش، تصوّر - اکثر - متفکرین این بود که زمین ساکن است. پس از انقلاب ی که آن را کوپرنیک آغاز کرد و گالیله به سرانجام رساند، دیگر معلوم شده بود که زمین، هم به دور - خود ش می چرخد، و هم به دور - خورشید. یک سؤال - بسیار مهم این بود که چرا متوجّه - این حرکت نمی شویم. آزمایش ها یی هم طرح شد. مثلاً میرسن^(b)، که از معاصران - گالیله^(c) و دکارت^(d) بود، پیش نهاد کرد گلوله ای را کاملاً عمود بر سطح - افق پرتاب کنیم ببینیم به جا ی - اوّل ش باز می گردد یا نه [1]. این میرسن همان کس ی است که عددها ی - اوّل - میرسن را معرفی کرد، و همان کس ی است که آزمایش ها ی - غلطیدن - گلوله روی - سطح - شیب دار را که گالیله گزارش کرده بود تکرار کرد، و متوجّه شد که گالیله یا آزمایش نکرده، یا غلط گزارش کرده [1].

استدلال - ارسطویی این بود که اگر زمین حرکت کند، در هنگام ی که گلوله بالا می رود، زمین حرکت می کند و بنا بر این گلوله به جا یی که از آن پرتاب شده بر نمی گردد. گالیله متوجّه - نکته ی - بسیار مهم ی شد، این که اگر در داخل - کشتی ای که با سرعت - ثابت روی - دریا ی - آرام پیش می رود، این آزمایش را انجام دهیم (یعنی گلوله ی را به بالا بیندازیم)، با آن که می دانیم کشتی نسبت به ساحل در حال - حرکت است، می بینیم نتیجه ی - آزمایش درست همان طور است که اگر آن را در کنار - ساحل انجام می دادیم. از این تجربه، گالیله اصل ی را بیرون کشید که امروزه نام - اصل -

نسبیتِ گالیله‌ای معروف است. اگر دو آزمایش‌گاه چنان باشند که یک ی با سرعت ثابت نسبت به دیگری حرکت کند، با هیچ آزمایش ی در داخل آن‌ها نمی‌توان آن‌ها را از هم تمیز داد. یعنی مثلاً اگر قطاری با سرعت ثابت و روی ریل ی افقی حرکت کند، با هیچ آزمایش ی در داخل قطار نمی‌توان سرعت آن را نسبت به زمین سنجید (تنها با نگاه کردن به بیرون، و سنجیدن سرعت اشیاء روی زمین است که می‌توان این سرعت را سنجید).

اصل نسبیتِ گالیله درست است، به این معنی که تجربه آن را تأیید می‌کند. اما ضمناً پاسخ اصلِ گالیله به این پرسش که «چرا متوجه چرخش زمین نمی‌شویم؟» کامل نبود، زیرا آزمایش‌گاه‌ها بی که روی زمین اند می‌چرخند، یعنی شتاب دارند، و قاعدتاً باید بتوان شتاب را حس کرد. اگر جسم ی را از سکون رها کنیم، می‌افتد، اما نه در امتداد شاغول، بل که کم ی به شرق منحرف می‌شود (در نیم‌کره ی شمالی). اما اگر جسم را به بالا بیندازیم، کم ی به غرب منحرف می‌شود. اگر آزمایش میرین را به دقت انجام دهیم، خواهیم دید که گلوله واقعاً به محل پرتابش بر نمی‌گردد، اما انحرافش بسیار کم است، زیرا انحراف به غرب حرکت بالارونده، در تقرب اول، با انحراف به شرق حرکت پایین‌رونده خنثا می‌شود.

از زمان نیوتن^e به بعد، بسیاری از پژوهش‌گران به این فکر می‌کردند که چه طور می‌توان چرخش زمین را در آزمایش‌گاه دید؛ یعنی به دنبال ابداع آزمایش‌ها بی بودند که بتوان آن‌ها را در یک اتاق بسته انجام داد، و سرعت زاویه‌ای زمین را آشکار کرد. آونگ فوکو^f نخستین آزمایش موفق از این نوع است.

آونگ فوکو در واقع چیزی نیست جز یک آونگ ساده، که به دلیل ی که خواهیم دید به‌تر است طول و جرمش زیاد، و زاویه ی انحرافش کم باشد.

2 معادله‌های حرکت و حل آن‌ها

آونگ ی با دامنه ی کوچک را در نظر بگیریم. محورهای چنان می‌گیریم که محور z در امتداد راستای قائم (یعنی عمود بر سطح افق)، y عمود بر z و رو به شمال، و x عمود بر z و رو به شرق باشد. اگر زمین نچرخد، معادله ی حرکت آونگ هست

$$m \mathbf{a} = m \mathbf{g} + \mathbf{T}, \quad (1)$$

که در این جا \mathbf{T} نیروی کشش نخ است. اگر طول نخ آونگ، l ، ثابت باشد، \mathbf{T} هم‌واره بر v عمود است، و بنا بر این کارش صفر است. با ضرب کردن دو طرف معادله ی حرکت در v می‌بینیم که

کمیت زیر ثابت است.

$$\frac{1}{2} (\dot{x}^2 + \dot{y}^2 + \dot{z}^2) + g z = \frac{E}{m} = \text{ثابت} \quad (2)$$

ثابت بودن طول نخ یک قید جبری است بین x و y و z که می‌گوید

$$(z - \ell)^2 + x^2 + y^2 = \ell^2 \quad \Rightarrow \quad z^2 - 2\ell z + (x^2 + y^2) = 0 \quad (3)$$

این معادله دو حل دارد.

$$z = \ell \pm \sqrt{\ell^2 - x^2 - y^2}. \quad (4)$$

جواب بزرگ‌تر نزدیک 2ℓ و جواب کوچک‌تر نزدیک 0 است. برای آونگ این جواب دوم است که پذیرفتنی است، و با بسط دادن $\sqrt{\ell^2 - x^2 - y^2}$ دیده می‌شود که

$$z = \frac{1}{2\ell} (x^2 + y^2). \quad (5)$$

به این ترتیب، با توجه به این که $\dot{z} \simeq 0$ است، داریم

$$\frac{1}{2} (\dot{x}^2 + \dot{y}^2) + \frac{g}{\ell} (x^2 + y^2) = \text{ثابت} \quad (6)$$

خوب است لاگرانژی را هم ببینیم.

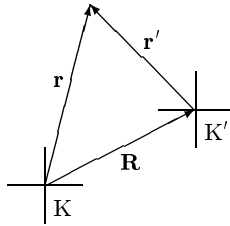
$$L = \frac{1}{2} \left[\dot{x}^2 + \dot{y}^2 + \frac{(x\dot{x} + y\dot{y})^2}{\ell^2} \right] - \frac{1}{2} \omega^2 (x^2 + y^2) \quad (7)$$

توجه کنید که x در مقایسه با ℓ خیلی کوچک است و \dot{x} از مرتبه $\omega|x|$ است، پس $x\dot{x}/\ell^2$ از مرتبه ω^2 است و به راحتی می‌توان از آن، و مشابهاً از $y\dot{y}/\ell^2$ ، صرف‌نظر کرد. آن چه می‌ماند لاگرانژی یک نوسان‌گر هم‌سان‌گرد است. از این جا باید برای یمان واضح باشد که معادله‌ها ی‌دیفرانسیل حرکت (برای دامنه ی‌کوچک) چنین اند:

$$\ddot{x} + \omega^2 x = 0, \quad \ddot{y} + \omega^2 y = 0, \quad \omega := \sqrt{\frac{g}{\ell}}. \quad (8)$$

راستش این دو معادله ی‌دیفرانسیل تقریبی اند. بس آمد نوسان هم دقیقاً $\sqrt{g/\ell}$ نیست، بل که تابعی است از دامنه. می‌توان نشان داد که اگر دامنه ی‌آونگ α باشد بس آمد چنین است [2، ص 215]:

$$\omega = \sqrt{\frac{g}{\ell}} \left(1 - \frac{\alpha^2}{16} + \dots \right). \quad (9)$$



شکل ۱: اگر محورها ی چارچوب K' همواره موازی ی محورها ی چارچوب K باشند، شتاب ذره در K' هست:

$$\mathbf{a}' = \mathbf{a} - \ddot{\mathbf{R}}$$

اگر محورها ی K' با سرعت زاویه ای $\vec{\Omega}$ بچرخند، آن وقت داریم:

$$\mathbf{a}' = \mathbf{a} - \ddot{\mathbf{R}} - \vec{\Omega} \times (\vec{\Omega} \times \mathbf{r}) - 2\vec{\Omega} \times \mathbf{v}$$

پس از حل معادله ها ی (8) ارتفاع z از قید $x^2 + y^2 + (z - \ell)^2 = \ell^2$ به دست می آید. پس از آن که z به عنوان تابع ی از t معلوم شد، می توان با استفاده از مؤلفه ی z معادله ی دیفرانسیل حرکت، یعنی $\ddot{z} + g = (T \cos \alpha) / m$ ، اندازه ی نیرو ی کشش T را یافت.

پس، معادله ها ی حرکت می گویند که تصویر آونگ در صفحه ی افق یک نوسان گر هم آهنگ ساده ی دوبعدی ی هم سان گرد است — هم سان گرد یعنی هیچ چیز به راستا بسته گی ندارد، یا به عبارت ی، به دور محور z تقارن سمتی داریم.

اکنون ببینیم این معادله ها، با در نظر گرفتن این که زمین می چرخد، چه تغییرها بی می کنند. باید ابتدا به یاد بیاوریم که اگر محورها ی چارچوب K' همواره موازی ی محورها ی چارچوب K باشند، اما K' با شتاب $\ddot{\mathbf{R}}$ نسبت به K حرکت کند، داریم [2، صص 270 تا 284]:

$$m \mathbf{a}' = \mathbf{F} - m \ddot{\mathbf{R}}. \quad (10)$$

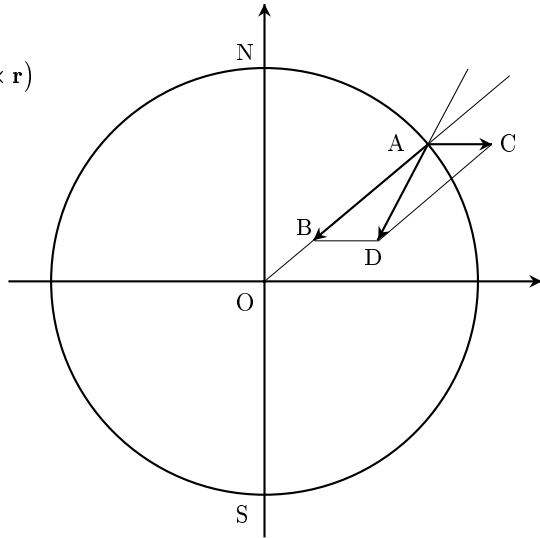
زمین در هر $23^h 56^m 04^s$ یعنی 86164 s یک بار به دور محور قطبی اش می گردد، پس سرعت زاویه ای اش $\Omega = 7.292 \times 10^{-5} \text{ Rad/s}$ است. آزمایش گاه ی که در عرض جغرافیایی ی λ است، در فضا رو ی دایره ای به شعاع $R_0 \cos \lambda$ حرکت می کند، و بنا بر این شتاب ش هست $R_0 \cos \lambda \Omega^2 \mathbf{n}$ که در این جا R_0 شعاع زمین، و \mathbf{n} بردار ی است عمود بر محور چرخش زمین.

اما محورها ی آزمایش گاه ها بی که رو ی زمین می سازیم، می چرخند، زیرا زمین می چرخد. بنا بر این، علاوه بر نیرو ی مجازی ی $-m \ddot{\mathbf{R}}$ ، دو نیرو ی مجازی ی دیگر هم در آزمایش گاه حس

$$\vec{AB} = \mathbf{g}_0 = -\frac{GM}{R^2} \hat{r}$$

$$\vec{AC} = -\vec{R} = -\vec{\Omega} \times (\vec{\Omega} \times \mathbf{r})$$

$$\vec{AD} = \mathbf{g} = \mathbf{g}_0 - \vec{R}$$



شکل ۲: شتاب گرانشی که در نقطه‌ی A حس می‌شود، \mathbf{g} ، مجموع دو بردار است. یک بردار \mathbf{g}_0 که ناشی از گرانش یک زمین کروی است. این بردار به سمت مرکز زمین است. دوم شتاب گریزازمرکز که در امتداد AC است. مجموع این دو، \mathbf{g} ، راستای شاغول یا سطح تراز آب را تعیین می‌کند.

می‌شود، یک نیروی گریزازمرکز ناشی از چرخش محورها یا آزمایش‌گاه، و دوم نیروی کوریولی^(g)، و معادله‌ی حرکت به این شکل در می‌آید [2]:

$$m \mathbf{a} = \mathbf{F} - m \vec{R} - m \vec{\Omega} \times (\vec{\Omega} \times \mathbf{r}) - 2 m \vec{\Omega} \times \mathbf{v}. \quad (11)$$

در مورد آونگ، \mathbf{F} عبارت است از نیروی گرانش زمین، به علاوه‌ی نیروی کشش نخ. فرض کنید شتاب گرانش \mathbf{g}_0 باشد. تعریف می‌کنیم $\mathbf{g} = \mathbf{g}_0 - \vec{R}$. بردار \mathbf{g} شتاب مؤثری است ناشی از هم گرانش زمین و هم گردش آزمایش‌گاه به دور محور زمین. این \mathbf{g} است که راستای شاغول تعیین می‌شود. بنا بر این، در واقع محور z آزمایش‌گاه در راستای این \mathbf{g} است، و اندازه‌ی هم که در آزمایش‌گاه برای شتاب گرانش می‌سنجیم، در واقع اندازه‌ی این \mathbf{g} است. به این ترتیب از این به بعد لازم نیست نگران جمله‌ی $-m \vec{R}$ ، یعنی $-m R_0 \cos \lambda \Omega^2 \mathbf{n}$ باشیم.

ابعاد - آزمایش‌گاه معمولاً بسیار کم‌تر از 10^2 متر است. پس شتاب - گریزازمرکز - ناشی از چرخش - محورها ی - آزمایش‌گاه، کم‌تر از $7 \times 10^{-8} \text{ m/s}^2$ است. این عدد کسر - کوچک ی از $10 \text{ m/s}^2 \sim |g|$ است. از این جمله هم صرف‌نظر می‌کنیم.

به این ترتیب، معادله ی - حرکت - آونگ، با در نظر گرفتن - چرخش - زمین، این است:

$$\mathbf{a} = \mathbf{g} + \frac{1}{m} \mathbf{T} - 2 \vec{\Omega} \times \mathbf{v}. \quad (12)$$

واضح است که \mathbf{T} کشش - نخ است.

چون $\vec{\Omega} \times \mathbf{v}$ بر \mathbf{v} عمود است، هنوز هم داریم

$$\frac{1}{2} (\dot{x}^2 + \dot{y}^2 + \dot{z}^2) + g z = \frac{E}{m} = \text{ثابت} \quad (13)$$

دو جمله ی - نخست - معادله ی - حرکت، یعنی شتاب - گرانش و کشش - نخ، باز اگر دامنه ی - آونگ کوچک باشد، منجر می‌شوند به جمله‌ها ی - $-\omega^2 x$ و $-\omega^2 y$ ، که باز هم $\omega := \sqrt{g/\ell}$. پس کافی است جمله ی - کوریولی را به معادله‌ها ی - (8) اضافه کنیم. برای ی - این کار دقت می‌کنیم که محور - y را به سمت - شمال - جغرافیایی گرفتیم. بنا بر این $\vec{\Omega}$ در صفحه ی - yz است. داریم

$$\vec{\Omega} = \Omega \sin \lambda \mathbf{k} + \Omega \cos \lambda \mathbf{j}, \quad (14)$$

و بنا بر این

$$-2 \vec{\Omega} \times \mathbf{v} = -2 \Omega (\cos \lambda \dot{z} - \sin \lambda \dot{y}) \mathbf{i} - 2 \Omega \sin \lambda \dot{x} \mathbf{j} + 2 \Omega \cos \lambda \dot{x} \mathbf{k}. \quad (15)$$

به معادله ی - دیفرانسیل - z در این مرحله علاقه ای نداریم، زیرا باز هم با معلوم شدن - x و y ، تابع - z را از شرط - $z^2 + y^2 + x^2 = \ell^2$ به دست خواهیم آورد، و در صورت - نیاز با استفاده از آن نیرو ی - کشش - نخ را تعیین خواهیم کرد.

در مورد - مؤلفه ی - x - شتاب - کوریولی برای ی - آونگ، خوب است دو جمله را با هم مقایسه کنیم. اگر دامنه ی - آونگ α (رادیان) باشد، مؤلفه ی - x - سرعت - آونگ از مرتبه ی - $\frac{1}{2\pi} \omega \ell \alpha$ است، و مؤلفه ی - z - سرعت - آونگ از مرتبه ی - $\frac{1}{2\pi} \omega \ell \frac{\alpha^2}{2}$ است (زیرا $\frac{1}{2} \ell \alpha^2 \simeq \Delta z = \ell(1 - \cos \alpha)$). به این ترتیب می‌توانیم دو جمله ی - مؤلفه ی - x - شتاب - کوریولی را مقایسه کنیم.

$$\frac{\cos \lambda |\dot{z}|}{\sin \lambda |\dot{x}|} \sim \frac{1}{2} \alpha \cot \lambda \quad (16)$$

$\cot \lambda$ در عرض‌ها ی - کم، یعنی نزدیک - استوا، بزرگ است، اما در عرض - جغرافیایی ی - 35° تقریباً 1.4 است. بنا بر این، در جایی مثل - تهران، این نسبت تقریباً همان α است، و بنا بر این در نوشتن -

معادله ی حرکت آونگ، در جمله ی شتاب کوریولی، جمله ی $\Omega \cos \lambda \ddot{z}$ را نادیده می گیریم. به این ترتیب می رسمیم به معادله ها ی زیر

$$\begin{cases} \ddot{x} + \omega^2 x - 2 \varphi \dot{y} = 0, \\ \ddot{y} + \omega^2 y + 2 \varphi \dot{x} = 0. \end{cases} \quad (17)$$

در این فرمول ها، و از این به بعد، برای اختصار تعریف کرده ایم

$$\varphi = \Omega \sin \lambda. \quad (18)$$

توجه کنید که اگر دامنه ی نوسان کوچک نباشد، این معادله ها باید تصحیح شوند. پس، اگر می خواهیم نتیجه ی آزمایش را با این فرمول ها مقایسه کنیم، باید دامنه ی آونگ کوچک باشد.

برای حل این معادله ها، ابتدا ماتریس ها ی زیر را تعریف می کنیم.

$$X = \begin{bmatrix} x \\ y \end{bmatrix}, \quad J = \begin{pmatrix} 0 & 1 \\ -1 & 0 \end{pmatrix}, \quad (19)$$

و معادله ها را به شکل ماتریسی ی زیر می نویسیم.

$$\ddot{X} + \omega^2 X - 2 \varphi J \dot{X} = 0. \quad (20)$$

برای حل این معادله، ابتدا می کوشیم تبدیل ی پیدا کنیم که معادله را ساده تر کند. برای این کار فرض کنید S یک ماتریس 2×2 ی وابسته به زمان باشد، و Q یک ماتریس ستونی 2×1 ، یعنی مثلاً $Q = \begin{bmatrix} q_1 \\ q_2 \end{bmatrix}$ اکنون بنویسیم $X = SQ$. این در واقع یک تغییر تابع دادن است. واضح است که داریم

$$\dot{X} = \dot{S}Q + S\dot{Q} \quad (21)$$

$$\ddot{X} = \ddot{S}Q + 2\dot{S}\dot{Q} + S\ddot{Q}. \quad (22)$$

این ها را بگذاریم در معادله ی دیفرانسیل. خواهیم داشت:

$$S\ddot{Q} + 2(\dot{S} - \varphi JS)\dot{Q} + (\omega^2 S + \ddot{S} - 2\varphi J\dot{S})Q = 0. \quad (23)$$

S را چنان بگیریم که جمله ی شامل \dot{Q} صفر باشد. کافی است S چنان باشد که

$$\dot{S} - \varphi JS = 0. \quad (24)$$

این یک معادله ی دیفرانسیل برای ماتریس S است، که حل ش نسبتاً ساده و سرراست است. به زود ی حل آن را بررسی خواهیم کرد، فعلاً نیاز ی نیست که شکل صریح حل را بنویسیم، کافی

است توجه می‌کنیم که اگر $S(t)$ چنان باشد $\dot{S} = \mathcal{J} S$ ، آن وقت معادله‌ی دیفرانسیل Q جمله‌ی \dot{Q} ندارد، و داریم

$$\ddot{S} = \mathcal{J} \dot{S} = (\mathcal{J})^2 J^2 S = -(\mathcal{J})^2 S, \quad (25)$$

$$-2 \mathcal{J} J \dot{S} = 2 \mathcal{J}^2 S. \quad (26)$$

به این ترتیب خواهیم داشت

$$S \ddot{Q} + (\omega^2 + \mathcal{J}^2) S Q = 0, \quad (27)$$

که با ضرب کردن S^{-1} (از چپ) می‌رسیم به معادله‌ی ساده‌ی

$$\ddot{Q} + (\omega^2 + \mathcal{J}^2) Q = 0. \quad (28)$$

این معادله بسیار آشنا است: نوسان‌گر - هم‌آهنگ - هم‌سان‌گرد، با بس‌آمد -

$$\omega' := \sqrt{\omega^2 + \mathcal{J}^2} \simeq \omega + \frac{1}{2} \frac{\mathcal{J}^2}{\omega}. \quad (29)$$

برای \mathcal{J} آونگ‌ی به طول - کم‌تر از 100 m، ω بزرگ‌تر از 0.3 s^{-1} است، و \mathcal{J} کوچک‌تر از $7 \times 10^{-5} \text{ s}^{-1}$ است، بنا بر این ω' با تقریب - بسیار خوب ی همان ω است.

فرض کنید آونگ را در $t = 0$ به اندازه‌ی $\alpha = A/\ell$ زاویه‌ی α منحرف کنیم، و بدون - سرعت - اولیه رها کنیم. این یعنی باید معادله‌ی دیفرانسیل (17) را با شرط - آغازین -

$$\begin{aligned} x(0) &= A \cos \varphi_0 & \dot{x}(0) &= 0 \\ y(0) &= A \sin \varphi_0 & \dot{y}(0) &= 0 \end{aligned} \quad (30)$$

حل کنیم. در این جا φ_0 زاویه‌ی ای است که صفحه‌ی نوسان - آونگ (در $t = 0$) با محور x (یعنی امتداد - غرب به شرق) می‌سازد. برای - حل - (17) کافی است معادله‌ها ی $\ddot{Q} + \omega^2 Q = 0$ را حل کنیم، و بعد $X = S Q$ را حساب کنیم. تنها چیزی که می‌ماند این است که ببینیم شرط - آغازین Q چیست.

$S(0)$ را هر ماتریس - وارون‌پذیری می‌توانیم بگیریم (وضعیت - آغازین). یک انتخاب - بسیار خوب \mathbb{I} است. با این انتخاب در $t = 0$ فرق ی بین X و Q نیست. یعنی در $t = 0$ داریم

$$X(0) = S(0) Q(0) = \mathbb{I} Q(0) = Q(0) \quad (31)$$

$$\dot{X}(0) = \dot{S}(0) Q(0) + S(0) \dot{Q}(0) = \mathcal{J} S Q(0) + \dot{Q}(0) \quad (32)$$

یا معادلاً

$$Q(0) = X(0), \quad \dot{Q}(0) = \dot{X}(0) - \mathcal{Q} J X(0). \quad (33)$$

که با نمادگذاری ی متداول تر x و y و q_1 و q_2 می شود

$$\begin{aligned} q_1(0) &= -A \cos \varphi_0 & \dot{q}_1(0) &= +A \mathcal{Q} \sin \varphi_0 \\ q_2(0) &= -A \sin \varphi_0 & \dot{q}_2(0) &= -A \mathcal{Q} \cos \varphi_0 \end{aligned} \quad (34)$$

جواب معادله های $\ddot{q}_1 + \omega^2 q_1 = \ddot{q}_2 + \omega^2 q_2 = 0$ با این شرطها ی آغازین هست:

$$q_1(t) = A \left[\cos \varphi_0 \cos \omega t - \frac{\mathcal{Q}}{\omega} \sin \varphi_0 \sin \omega t \right] \quad (35)$$

$$q_2(t) = A \left[\sin \varphi_0 \cos \omega t + \frac{\mathcal{Q}}{\omega} \cos \varphi_0 \sin \omega t \right] \quad (36)$$

برای آونگها ی با طول کم تر از 100 m، داریم $\omega \geq 0.3 \text{ s}^{-1}$ ، و بنا براین

$$\frac{\mathcal{Q}}{\omega} \leq 2 \times 10^{-4}. \quad (37)$$

پس با خیال راحت می توانیم از جمله های شامل Ω/ω صرف نظر کنیم. به این ترتیب خواهیم داشت:

$$q_1(t) = A \cos \varphi_0 \cos \omega t \quad q_2(t) = A \sin \varphi_0 \cos \omega t \quad (38)$$

از این جا به ساده گی دیده می شود که نسبت $\frac{q_2}{q_1}$ ثابت است، و این یعنی در صفحه ی q_1 q_2 نوسان گر

همواره در امتداد یک خط شعاعی نوسان می کند؛ خط ی که با محور q_1 زاویه ی φ_0 می سازد.

اکنون تنها چیزی ی که مانده این است که ماتریس $S(t)$ را حساب کنیم. این کار ساده است. ابتدا

کافی است توجه کنیم که جواب معادله ی دیفرانسیل ماتریسی ی $\dot{S} = KS$ که در آن K یک ماتریس 2×2 است، به شکل زیر است.

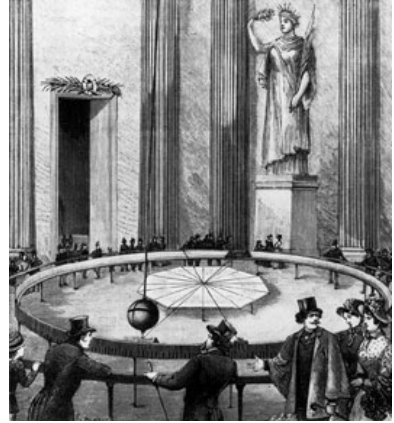
$$S(t) = e^{Kt} S(0). \quad (39)$$

در این جا منظور از $\exp(A)$ برای ماتریس A ، تابع زیر است:

$$\exp(A) = \mathbb{I} + A + \frac{1}{2!} A^2 + \frac{1}{3!} A^3 + \dots \quad (40)$$

اثبات بسیار ساده است – کافی است مشتق بگیریم:

$$\begin{aligned} \frac{d}{dt} e^{Kt} &= \frac{d}{dt} \left(\mathbb{I} + Kt + \frac{1}{2!} K^2 t^2 + \frac{1}{3!} K^3 t^3 + \dots \right) \\ &= \left(0 + K + \frac{2}{2!} K^2 t + \frac{3}{3!} K^3 t^2 + \dots \right) \end{aligned}$$



راست: تصویری که گویا در یک ی از روزنامه‌ها ی پاریس چاپ شده و آزمایشِ فوکو را نشان می‌دهد. چپ: وزنه ی آونگِ فوکو. این وزنه اکنون در موزه ای در پاریس است.

$$\begin{aligned}
 &= K \left(\mathbb{I} + K t + \frac{1}{2!} K^2 t^2 + \frac{1}{3!} K^3 t^3 + \dots \right) \\
 &= K e^{K t},
 \end{aligned} \tag{41}$$

پس

$$\frac{d}{dt} e^{K t} S(0) = K e^{K t} S(0) = K S. \tag{42}$$

برا ی مسئله ی ما $K = \vartheta J$ که در آن ماتریس J ویژه گی ی جالب ی دارد که کمک می‌کند $e^{\theta J}$ را به ساده گی حساب کنیم.

$$J^2 = -\mathbb{I}, \quad J^3 = -J, \quad J^4 = \mathbb{I}, \quad J^5 = J, \dots \tag{43}$$

بنا بر این

$$\begin{aligned}
 e^{\theta J} &= \exp(\theta J) = \sum_{n=0}^{\infty} \frac{\theta^n}{n!} J^n \\
 &= \mathbb{I} + \theta J + \frac{\theta^2}{2!} J^2 + \frac{\theta^3}{3!} J^3 + \dots \\
 &= \mathbb{I} + \frac{\theta}{1!} J - \frac{\theta^2}{2!} \mathbb{I} - \frac{\theta^3}{3!} J + \frac{\theta^4}{4!} \mathbb{I} + \dots
 \end{aligned}$$

$$= \cos \theta \mathbb{I} + \sin \theta J = \begin{pmatrix} \cos \theta & \sin \theta \\ -\sin \theta & \cos \theta \end{pmatrix}. \quad (44)$$

پس کافی است بگذاریم $\theta = \varrho t$ ، و خواهیم داشت:

$$\begin{bmatrix} x(t) \\ y(t) \end{bmatrix} = \begin{pmatrix} \cos(\varrho t) & \sin(\varrho t) \\ -\sin(\varrho t) & \cos(\varrho t) \end{pmatrix} \begin{bmatrix} A \cos \varphi_0 \cos \omega t \\ A \sin \varphi_0 \cos \omega t \end{bmatrix}, \quad (45)$$

یا، با نمادگذاری ای آشناتر

$$\begin{aligned} x(t) &= A \cos \omega t [\cos(\varrho t) \cos \varphi_0 + \sin(\varrho t) \sin \varphi_0] \\ &= A \cos \omega t \cos(\varphi_0 - \varrho t) \end{aligned} \quad (46)$$

$$\begin{aligned} y(t) &= A \cos \omega t [\sin(\varrho t) \cos \varphi_0 - \cos(\varrho t) \sin \varphi_0] \\ &= A \cos \omega t \sin(\varphi_0 - \varrho t) \end{aligned} \quad (47)$$

این معادله‌ها می‌گویند: در صفحه‌ی xy (که در آزمایش‌گاه افقی و ثابت است) یک نوسان با بس آمد. ω داریم، روی خطی که در $t = 0$ با محور x زاویه‌ی φ_0 می‌سازد، اما زاویه‌ی این خط با محور x ثابت نیست، بل که با سرعت زاویه‌ای ϱ در جهت عقربه‌ها می‌گردد. برای دیدن این مطلب می‌توان زاویه‌ی بین $\mathbf{r} = x\mathbf{i} + y\mathbf{j}$ را با راستای $\mathbf{n} = \cos \varphi_0 \mathbf{i} + \sin \varphi_0 \mathbf{j}$ حساب کرد. این زاویه را γ بنامیم. داریم

$$\begin{aligned} \cos \gamma &= \frac{\mathbf{r} \cdot \mathbf{n}}{|\mathbf{r}|} = \frac{A \cos \omega t \cos(-\varrho t)}{A \cos \omega t} \\ &= \cos(-\varrho t) \end{aligned} \quad (48)$$

پس از یک دور گردش زمین، یعنی $86\ 164\ \text{s}$ ، این زاویه می‌شود $2\pi \sin \lambda$ ، که برای $\lambda = 35^\circ$ می‌شود 206° . یعنی آونگ در تهران، در هر ساعت 8.5° پیش‌روی می‌کند. به بیان دیگر، صفحه‌ی آونگ با دوره‌ی $2\pi/(\Omega \sin \lambda)$ پیش‌روی می‌کند. این دوره برای $\lambda = 35^\circ$ هست $150, 225\ \text{s}$ ، یعنی $41^{\text{h}}\ 43^{\text{m}}\ 45^{\text{s}}$.

3 تعبیر هندسی: ناهنجاری در انتقال موازی روی یک مدار کره

* از مطالب این بخش در ادامه ی مقاله استفاده نخواهد شد. خواننده‌ها بی که فکر می‌کنند این مطالب زیاد ی مجرد است، می‌توانند مستقیماً به بخش بعد بروند.

زاویه ی $2\pi \sin \lambda$ «ناهنجاری» نام دارد. ناهنجاری مفهوم ی است در هندسه ی دیفرانسیل. برای فهمیدن آن ابتدا باید مفهوم انتقال موازی را مرور کنیم.

فرض کنید \vec{a} برداری باشد در نقطه ی P ، و فرض کنید Q نقطه ای دیگر از فضا ی اقلیدسی (E^3) باشد. دو بردار \vec{a} و \vec{PQ} یک و تنها یک متوازی‌الاضلاع تعریف می‌کنند. به کمک این متوازی‌الاضلاع می‌توان \vec{a} را به موازات خود ش منتقل کرد تا به Q برسد. توجه کنید که این انتقال موازی خوش تعریف است، چون در E^3 اصل موازی ی اقلیدسی برقرار است که می‌گوید از هر نقطه در خارج یک خط، یک و تنها یک خط می‌گذرد که با آن موازی است.

اکنون رویه ای خمیده (Σ) در فضا ی اقلیدسی ی E^3 در نظر بگیرید. فرض کنید P و Q دو نقطه از این رویه باشند و \vec{a} برداری باشد که در P بر رویه مماس است. آیا می‌توان بدون ابهام از موازی منتقل شده ی \vec{a} به Q صحبت کرد طوری که برداری که به دست می‌آید در Q بر Σ مماس باشد؟ نه. زیرا اگر \vec{a} را در E^3 موازی منتقل کنیم، در حالت کلی در Q بر Σ مماس نخواهد بود. اما می‌توان انتقال موازی را به نحو دیگری تعریف کرد که بشود آن را به رویه‌ها ی خمیده هم تعمیم داد، به این نحو:

انتقال موازی در امتداد یک خم که روی رویه ی خمیده ی Σ است:

خم Γ را به قطعه‌هایی بسیار کوچک تقسیم می‌کنیم. در امتداد هر قطعه ی کوچک این طور انتقال موازی می‌دهیم: بردار \vec{a} را در فضا ی اقلیدسی ی E^3 در امتداد این قطعه ی بسیار کوچک منتقل می‌کنیم. به این ترتیب برداری به دست می‌آید که ممکن است بر رویه مماس نباشد. مؤلفه ی قائم بر رویه اش را حذف می‌کنیم، یا اصطلاحاً بردار را بر رویه تصویر می‌کنیم. به این ترتیب برداری به دست می‌آید که بر رویه مماس است. این کار را به ترتیب برای همه ی قطعه‌ها ی بسیار کوچک انجام می‌دهیم تا به برداری در Q برسیم. این بردار حاصل انتقال موازی ی \vec{a} از P به Q در امتداد Γ است. نکته ی بسیار مهم این است که این برداری که به دست می‌آید به مسیر Γ بسته‌گی دارد. این انتقال موازی را «انتقال موازی ی لوی - چپویتا»^(h) می‌نامیم. می‌توان نشان داد که طول برداری که به این نحو به دست می‌آید با $|\vec{a}|$ برابر است.

فرض کنید Γ یک خم بسته باشد و Q نقطه ای از Γ باشد. اگر \vec{a} را در امتداد Γ انتقال موازی بدهیم تا باز به Q برسد چه می شود؟ برداری مثل \vec{b} به دست می آید که طولش برابر است با طول \vec{a} ، پس می توان آن را با دادن یک زاویه مشخص کرد. این زاویه را ناهنجاری برای Γ می گویند. در زیر این تعریف انتقال موازی را برای یک کره، و برای وقت ی که Γ یک مدار کره باشد دنبال می کنیم و ناهنجاری را به دست می آوریم.

فرض کنید بردار \vec{a} در نقطه ای به عرض λ بر کره ای مماس باشد. این بردار را در امتداد مدار λ «انتقال موازی» بدهیم، تا دوباره به همان نقطه باز گردد. از مختصه ها ی متعارف کروی استفاده می کنیم. داریم

$$\hat{r} = \sin \theta \cos \varphi \mathbf{i} + \sin \theta \sin \varphi \mathbf{j} + \cos \theta \mathbf{k} \quad (49)$$

$$\hat{\theta} = \cos \theta \cos \varphi \mathbf{i} + \cos \theta \sin \varphi \mathbf{j} \quad (50)$$

$$\hat{\varphi} = -\sin \varphi \mathbf{i} + \cos \varphi \mathbf{j} \quad (51)$$

این سه بردار در نقطه ی (θ, φ) اند. در نقطه ی $(\theta, \varphi + \delta\varphi)$ سه بردار دیگر داریم که اگر $\delta\varphi$ کوچک باشد می توانیم آن ها را با بسط دادن توابع بالا به دست آوریم.

$$\hat{r}' = \hat{r} + \delta\varphi \sin \theta \hat{\varphi} \quad (52)$$

$$\hat{\theta}' = \hat{\theta} + \delta\varphi \cos \theta \hat{\varphi} \quad (53)$$

$$\hat{\varphi}' = \hat{\varphi} - \delta\varphi \sin \theta \hat{r}' - \delta\varphi \cos \theta \hat{\theta}. \quad (54)$$

برداری در نظر بگیریم که در نقطه ی (θ, φ) بر کره مماس باشد، یعنی

$$\mathbf{u} = a_1 \hat{\theta} + a_2 \hat{\varphi}. \quad (55)$$

این بردار را در فضا ی 3 بعدی، به موازات خود ش منتقل می کنیم و به نقطه ی $(\theta, \varphi + \delta\varphi)$ می بریم. توجه کنید که این انتقال موازی در فضا ی اقلیدسی است، و کاملاً خوش تعریف است. در این صورت برداری خواهیم داشت که می توانیم آن را بر حسب سه بردار \hat{r}' و $\hat{\theta}'$ و $\hat{\varphi}'$ بنویسیم (برای این کار به تر است ابتدا عکس رابطه ها ی بالا را حساب کنیم، که بسیار ساده است). خواهیم داشت

$$\mathbf{u} = (a_1 + a_2 \delta\varphi \cos \theta) \hat{\theta}' + (-a_1 \delta\varphi \cos \theta + a_2) \hat{\varphi}' + a_2 \delta\varphi \sin \theta \hat{r}'. \quad (56)$$

همان طور که می بینیم، این بردار در نقطه ی $(\theta, \varphi + \delta\varphi)$ بر کره مماس نیست (زیرا مؤلفه ی \hat{r}' هم دارد). اگر این \mathbf{u} را در این نقطه ی جدید بر کره تصویر کنیم (یعنی مؤلفه ی عمود بر کره اش را حذف

کنیم) برداری به دست می‌آید که می‌گوییم «حاصل انتقال موازی بردار \vec{a} ، در امتداد مدار θ ثابت، روی کره» است. البته این کار را برای $\delta\varphi$ ها ی بسیار کوچک می‌کنیم.

به این ترتیب توانستیم مفهوم انتقال موازی برای یک جابه‌جایی ی بسیار کوچک در امتداد یک مدار را تعریف کنیم، که با حذف جمله ی متناسب با \hat{r}' از فرمول بالا داده می‌شود. مؤلفه‌ها ی بردار \vec{a} دو عدد a_1 و a_2 اند. وقت ی این بردار را روی کره انتقال موازی می‌دهیم بردار دیگری به دست می‌آید با مؤلفه‌ها ی a'_1 و a'_2 که داریم

$$\begin{pmatrix} a'_1 \\ a'_2 \end{pmatrix} = \begin{pmatrix} 1 & \delta\varphi \cos\theta \\ -\delta\varphi \cos\theta & 1 \end{pmatrix} \begin{pmatrix} a_1 \\ a_2 \end{pmatrix}. \quad (57)$$

این فرمول را با تعریف

$$X := \begin{bmatrix} a_1 \\ a_2 \end{bmatrix}, \quad (58)$$

می‌توان به شکل زیر نوشت.

$$X \mapsto X' = X + \delta X \quad \delta X = \delta\varphi \cos\theta J X. \quad (59)$$

در این فرمول J همان ماتریس ی است که پیش‌تر تعریف کردیم. واضح است که در حد $\delta\varphi \rightarrow 0$ می‌رسیم به معادله ی دیفرانسیل زیر.

$$\frac{dX}{d\varphi} = \cos\theta J X. \quad (60)$$

حل این معادله با شرط آغازین $X(0) = X_0$ هست

$$X(s) = e^{\varphi \cos\theta J} X_0 = \begin{pmatrix} \cos(\varphi \cos\theta) & \sin(\varphi \cos\theta) \\ -\sin(\varphi \cos\theta) & \cos(\varphi \cos\theta) \end{pmatrix} X_0. \quad (61)$$

این ماتریس را با ماتریس ی که در (45) آمد مقایسه کنید! واضح است که اگر بگذاریم $\varphi = -\Omega t$ ، این ماتریس می‌شود همان ماتریس ی که با حل معادله ی حرکت آونگ به دست آوردیم.¹ نتیجه این که: بردار عمود بر صفحه ی نوسان آونگ، با چرخش زمین به دور محور ش، موازی منتقل می‌شود. انتقال موازی برای مدار ی که در نیم کره ی شمالی است بردار را به اندازه ی زاویه ی $\Delta\varphi \cos\theta$ می‌چرخاند، طور ی که بردار ی که ابتدا به سمت شرق بود، کم ی به سمت جنوب متمایل می‌شود.

$X(2\pi)$ بردار ی است در همان نقطه ی آغازین، یعنی در همان نقطه ای که $X(0)$ بر کره مماس بود. پس زاویه ی $X(2\pi)$ با $X(0)$ کمیت خوش‌تعریف ی است. این زاویه $2\pi \cos\theta$ است که بر

¹ علامت منفی درست است! دقت کنید که جهت بردار ی که θ به سمت جنوب است، اما وقت ی دینامیک آونگ فوکو را مطالعه می‌کردیم جهت محور y را روبه شمال گرفتیم.

حسب عرض جغرافیایی می شود $2\pi \sin \lambda$.

اینک می توانیم چرخش صفحه ی نوسان آونگ فوکو را به این شکل بیان کنیم:

صفحه ی نوسان آونگ فوکو با بردار عمود بر آن که بر کره ی زمین مماس است مشخص می شود. زمین که می چرخد، این بردار رو ی مدار λ موازی منتقل می شود، و پس از یک دور کامل یک ناهنجاری به اندازه ی $2\pi \sin \lambda$ پیدا می کند.

در این جا یک تذکر بسیار مهم را لازم می دانم. این چیزی که هم اینک در مورد آونگ فوکو بیان کردیم، به هیچ وجه از ابتدا بدیهی نبود و نیست. به اصطلاح فیلسوف ها این گزاره یک گزاره ی پسینی است، نه پیشینی، به این معنی که به هیچ وجه با تفکر محض، یعنی بدون ارجاع به تجربه یا حل معادله ها ی حرکت، نمی توان استدلال کرد که «بردار عمود بر صفحه ی نوسان آونگ فوکو، با چرخش زمین، موازی منتقل می شود». تنها پس از آن که معادله ها ی حرکت را نوشتیم این نکته روشن شد. اما، برای کسانی که با معادله ها ی حرکت در فضاها ی خمیده و حل آنها آشنا یند، به نوع ی «واضح» است که حرکت جسم آزاد ی که مقید است رو ی یک سطح خمیده حرکت کند «حرکت ژئودزیک» است، و به ساده گی از این جا نتیجه می گیرند که اگر یک نوسان گر هم آونگ هم سان گرد را که مقید است رو ی سطح ی نوسان کند، به آرامی منتقل کنیم، قطرها ی بیضی اش موازی منتقل می شوند (برای دیدن این نوع استدلال هندسی، رجوع کنید به [3] و [4]). باید توجه کرد که در استدلال ها یی از این نوع چیزها ی دیگری فرض شده — مثلاً این که حرکت ژئودزیک است، یا این که انتقال موازی درست همان انتقال موازی ی لوی - چپویتا است، و متریک فضا ی اطراف زمین بر اثر چرخش زمین تغییر نمی کند، و چیزها یی از این دست.

4 تخمین ی از میرایی

پیش روی ی صفحه ی نوسان آونگ فوکو کند است. برای آن که مردم آن را ببینند، باید چند ساعت صبر کرد. پس باید آونگ ی داشته باشیم که دست کم چند ساعت نوسان کند، بی آن که دامنه ی نوسان ش به طرز فاحش ی کم شود. وقت ی کره ای به شعاع a در هوا حرکت می کند، نیرو ی اصطکاک ی بر آن وارد می شود. این نیرو را می توان مجموع دو نیرو دانست. اول نیرو ی ناشی از گران روی که به شکل $6\pi\eta av$ است. در این فرمول η ضریب گران روی است که در دما ی $0^\circ C$ و فشار 1 atm برای هوا $1.78 \times 10^{-5} \text{ kg/(ms)}$ است. دوم نیرو ی ناشی از برخورد ملکول ها ی هوا با کره. این نیرو به شکل $K\pi a^2 \rho' v^2$ است، که در این جا ρ' چگالی ی هوا است که دما و فشار متعارفی $\rho' = 1.3 \text{ kg/m}^3$ است. ضریب K ثابت ی است بی بُعد. اگر برخوردها کاملاً

ناکش‌سان باشند، یعنی ملکول‌ها ی‌ هوا بچسبند به جسم $K = 1$ است. فرض ناکش‌سان بودن - برخورد‌ها چندان فرض - خوب ی نیست، اما نکته ی - مهم این است که عموماً K عدد ی از مرتبه ی 1 - است.

نسبت - این دو نیرو عدد - بی‌بعد ی است که آن را عدد - رینولدز⁽¹⁾ - مربوط به این مسئله می‌نامیم و با Re نشان ش می‌دهیم.²

$$Re = \frac{\pi a^2 \rho' v^2}{6 \pi \eta a v} = \frac{6 \rho' a v}{\eta}. \quad (62)$$

وقت ی Re کوچک‌تر از 1 است، نیرو ی - ناشی از گران‌روی مهم‌تر است، و وقت ی Re بزرگ‌تر از 1 است، نیرو ی - متناسب با v^2 مهم‌تر است. برای - آونگ ی به طول - ℓ و دامنه ی - α ، میان‌گین - سرعت تقریباً $\alpha \ell \omega$ است، که در آن $\omega = \sqrt{\frac{g}{\ell}}$ است. به این ترتیب داریم

$$Re = \frac{\rho' a \ell^{1/2} g^{1/2}}{6 \eta} \simeq 2 \times 10^4 \alpha a \sqrt{\ell} \quad [\text{SI units}]. \quad (63)$$

برای - آونگ ی به طول - 1 m که وزنه اش کره ای به شعاع - 0.5 cm باشد، این عدد α 100 است. هم با بلندتر شدن ℓ ، و هم با بزرگ‌تر شدن a ، ضریب α بزرگ می‌شود. از این جا واضح است که برای - آن که عدد - رینولدز کوچک باشد، باید دامنه خیل ی کوچک باشد. مثلاً برای - آن که عدد - رینولدز 0.5 باشد، باید α تقریباً 0.005 Rad باشد، که برای - آونگ ی با طول - 1 m، یعنی دامنه ی - 5 mm که بسیار کوچک است. با چنین آونگ ی نمی‌توان خوب آزمایش کرد. به بیان - دیگر در آزمایش‌ها ی - معمول با آونگ عدد - رینولدز بزرگ است، یعنی نیرو ی - اصطکاک به شکل - $\pi a^2 \rho' v^2$ است. چنین نیرویی با توان - $\pi a^2 \rho' v^3$ از انرژی ی - آونگ می‌کاهد.

با فرض - کوچک بودن - دامنه ی - نوسان‌ها ی - آونگ، می‌توانیم بنویسیم $x = A \cos \omega t$ و از آن جا $v = \dot{x} = -A\omega \sin \omega t$ ، و بنا بر این در نصف - دوره ی - تناوب داریم

$$\int_0^{\pi/\omega} v^3 dt = \int_0^{\pi/\omega} A^3 \omega^2 \sin^3 \omega t dt = \frac{4}{3} A^3 \omega^2. \quad (64)$$

پس، در هر دوره ی - تناوب به اندازه ی - $\frac{8}{3} A^3 a^2 \omega^2 \rho'$ از انرژی ی - آونگ کم می‌شود. انرژی ی - کل - آونگ هست $E = \frac{4\pi}{3} a^3 \rho A^2 \omega^2$ ، که یعنی $A = \left(\frac{3E}{4\pi a^3 \rho \omega^2} \right)^{\frac{1}{2}}$ ، و بنا بر این در مدّت زمان - $\frac{2\pi}{\omega}$ به اندازه ی - dE از انرژی ی - آونگ کم می‌شود که برابر است با

² معمولاً، برای - حرکت - یک کره در یک سیّال، عدد - رینولدز را $\frac{2 a \rho' v}{\eta}$ تعریف می‌کنند، که 12 برابر - آن چیزی است که ما با Re نشان داده ایم.

$$dE = -\frac{8\pi}{3} a^2 \omega^2 \rho' \left(\frac{3E}{4\pi a^3 \rho \omega^2} \right)^{\frac{3}{2}}$$

$$= -\frac{4}{3} a^2 \rho' \left(\frac{3}{4\pi a^3 \rho} \right)^{\frac{3}{2}} E^{\frac{3}{2}} dt \quad dt = \frac{2\pi}{\omega} \quad (65)$$

این معادله ی دیفرانسیل ی است به شکل $\frac{dE}{dt} = c E^{3/2}$ که حل ش ساده است. جواب آن با شرط آغازین $E(0) = E_0$ هست $E = E_0 \left(1 + \frac{t}{\tau}\right)^{-2}$ که یعنی $\frac{A}{A_0} = \left(1 + \frac{t}{\tau}\right)^{-1}$. در این فرمول‌ها

$$\tau = \frac{\pi}{2} \frac{a}{A_0} \frac{\rho}{\rho'} \sqrt{\frac{\ell}{g}} \quad (66)$$

زمان مشخصه ی میرایی، و A_0 دامنه ی آغازین آونگ است. فرض کنیم

$$\rho = 3.7 \times 10^3 \text{ kg/m}^3, \quad a = 15 \text{ cm}, \quad \ell = 11 \text{ m}, \quad A = 1 \text{ m} \quad (67)$$

خواهیم داشت

$$\tau = 7 \times 10^2 \text{ s} = 12^{\text{m}} \quad (68)$$

پس اگر چنین آونگ ی را با دامنه ی 1 m به نوسان در آوریم، پس از 5^{h} دامنه اش می‌شود

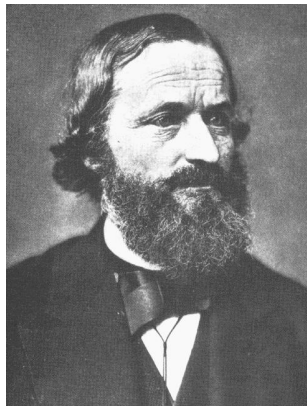
$$\frac{A}{A_0} = \left(1 + \frac{300}{12}\right)^{-1} = 0.04 \quad (69)$$

و این یعنی دامنه اش پس از 5^{h} تقریباً 4 cm است. در [5] گزارش شده که آونگ ی با چنین مشخصه‌هایی تا 5 یا 6 ساعت کار می‌کند، که خیل ی با تخمین ما فاصله ندارد، و البته قدری بیش‌تر از انتظار ما است.

فوکو در سال 1851 در زیر تاق عمارت پانتئون⁽ⁱ⁾ پاریس آونگ ی نصب کرد و آزمایش کرد. چرخش زمین مشهود بود. برای نخستین بار مردم می‌توانستند چرخش زمین را ببینند. آن طور که در [6] آمده است: طول آونگ 67 متر بود که یعنی پریود تقریباً 16 ثانیه. شعاع وزنه $a = 8.5 \text{ cm}$ ، وزن ش 28 kg، چگالی اش $1.1 \times 10^4 \text{ kg/m}^3$ بود. (وزنه از برنج و آهن ساخته شده بود که تویش سرب پر کرده بودند.) زمان مشخصه τ ، برای دامنه ی 1 m می‌شود $9 \times 10^3 \text{ s}$ ، یعنی حدود 2.5 ساعت. زیر آونگ مقدار زیاد ی خاک ریخته بودند که اگر نخ آونگ پاره شد افتادن وزنه کف سراسر ی پانتئون را خراب نکند. ضمناً، فوکو به وزنه قلم ی وصل کرده بود که روی خاک رد می‌انداخت. به این ترتیب می‌شد مسیر تصویر وزنه را دید. نمایش چند روز ادامه داشت. مردم می‌آمدند و چرخش زمین را به چشم می‌دیدند.



هیکه کامرلینخ اُیس



گوستاو کیرشهف



لئون فوکو

5 حرکت بیضوی می‌شود!

آونگ - فوکو همان طور که نظریه پیش‌بینی می‌کرد پیش‌روی می‌کرد؛ اما، در تمام - آزمایش‌ها، پس از گذشت - مدّت ی، پیش از آن که اصطکاک باعث - کم شدن - دامنه ی - آونگ بشود، اتفاق - دیگری می‌افتاد - حرکت - آونگ به مرور بیضوی می‌شد! و یک پرسش - مهم این است که چرا - چرا حرکت - آونگ - فوکو پس از مدّت ی بیضوی می‌شود؟ نخستین چیزی که به ذهن می‌رسد این است که ممکن است وزنه یا آویزگاه نامتقارن باشد. خوب است به یاد بیاوریم که اصولاً فیزیک این طور پیش‌رفت می‌کند که نتیجه ی - آزمایش و نظریه را با هم مقایسه می‌کنیم، و هر وقت انحراف ی دیدیم، می‌کوشیم هم آزمایش را دقیق‌تر انجام بدهیم، و هم نظریه را دقیق‌تر بررسی کنیم. تفاوت - فیزیک‌پیشه‌ها ی - تراز اول با بقیه در همین توجّه به آزمایش و دقّت در نظریه است.

در اواسط - دهه ی - 1870، گوستاو کیرشهف^k که فیزیک‌پیشه ی - برجسته ای بود، هیکه کامرلینخ اُیس را، که چند سال پیش‌تر در هایدلبرگ دانش‌جویش بود، ترغیب کرد که مسئله را حل کند. کامرلینخ اُیس، در خرونینخن^l - هلند مسئله را دنبال کرد، و در 1879 رساله ی - دکترایش را در این باره نوشت [7]. این کامرلینخ اُیس همان کسی است که بعدها یک ی از پیش‌تازان - فیزیک - دماها ی - کم بود، و ابرسانی را کشف کرد، و در 1913 جایزه ی - نُبِل - فیزیک را گرفت و یک ی از برجسته‌ترین فیزیک‌پیشه‌ها ی - تجربه‌گر بوده است.

کامرلینخ اُیس آونگ ی ساخت بسیار متقارن - آویزگاه ی هم ساخت که او را قانع می‌کرد هیچ گشتاوری وارد نمی‌کند. هنوز مدار بیضی می‌شد! برا ی - یک فیزیک‌پیشه ی - تجربه‌گر - معمولی، این می‌توانست یک دست‌آورد باشد. اما کامرلینخ اُیس یک فیزیک‌پیشه ی - برجسته بود، و در این حد متوقّف نشد، بل که مسئله را از دید - نظری هم بررسی کرد.

6 بسته‌گی ی-بس آمد-آونگ به راستای-نوسان

کاملینخ اُیس در هم‌سان‌گردی-میدان-گراننش، حول-محور- z - آزمایش‌گاه شک کرد. زمین به هیچ وجه حول-محور ی که از مرکز-زمین و محل-آزمایش‌گاه می‌گذرد تقارن-چرخشی ندارد - زیرا اولاً زمین پخ است، ثانیاً ناهم‌گنی‌ها ی-موضعی ی-زیاد ی دارد (مثل-کوه‌ها، درّه‌ها، ساختمان‌ها، که ممکن است نزدیک-آزمایش‌گاه باشند). پس تقارن-چرخشی، حول-محور- z - آزمایش‌گاه دقیق نیست. آن چه می‌دانیم این است که میدان-گراننش-مؤثر-زمین³ با یک تابع-پتانسیل که حل-معادله ی-لاپلاس است داده می‌شود.

این پتانسیل، به علاوه ی-نیروی-قیدی ی-نخ، در مجموع باعث می‌شوند تصویر-ورنه ی-آونگ بر صفحه ی- $z=0$ ، تحت-تأثیر-یک انرژی ی-پتانسیل $U(x, y)$ باشد. اگر میدان-گراننش-مؤثر-زمین، دور-محور- z - آزمایش‌گاه هم‌سان‌گرد بود، این تابع به شکل $\frac{1}{2} m \omega^2 (x^2 + y^2)$ بود. وجود-ناهم‌سان‌گردی این شکل را عوض می‌کند. این شکل را بیابیم. پتانسیل-گرانشی، که یعنی انرژی ی-پتانسیل تقسیم بر جرم-جسم، بسط-تیلری در مختصه‌ها ی-دکارتی دارد.

$$\phi = Ax + By + Cz + \frac{1}{2} (\alpha x^2 + \beta y^2 + \gamma z^2 + 2\epsilon xy + 2\eta xz + 2\kappa yz). \quad (70)$$

چون این تابع باید حل-معادله ی-لاپلاس باشد، داریم

$$\gamma = -(\alpha + \beta). \quad (71)$$

گرادیان-این تابع g را می‌دهد:

$$\vec{\nabla}\phi = (A + \alpha x + \epsilon y + \eta z) \mathbf{i} + (B + \beta y + \epsilon x + \kappa z) \mathbf{j} + (C + \gamma z + \eta x + \kappa y) \mathbf{k} \quad (72)$$

شتاب-گراننش در مبداء، $x = y = z = 0$ برابر است با g_0 ، و محور- z بنا به تعریف راستای-شاغول، یعنی راستای $-\mathbf{g} = \vec{\nabla}\phi$ است. بنا بر این A و B باید صفر باشند، و $C = g_0$ است. پس داریم

$$\phi = g_0 z + \frac{1}{2} (\alpha x^2 + \beta y^2 + \gamma z^2 + 2\epsilon xy + 2\eta xz + 2\kappa yz). \quad (73)$$

اکنون اگر باز برای-آونگ-کم‌دامنه z را از فرمول- (5) در این تابع بگذاریم، و از توان‌ها ی-3 صرف‌نظر کنیم، می‌رسیم به

³ در این جا منظور از مؤثر، مجموع-گراننش و شتاب-گریزاز مرکز است.

$$\begin{aligned}\phi &= \frac{g_0}{2\ell} (x^2 + y^2) + \frac{1}{2} (\alpha x^2 + 2\epsilon xy + \beta y^2) \\ &= \frac{1}{2} [(\omega^2 + \alpha) x^2 + 2\epsilon xy + (\omega^2 + \beta) y^2].\end{aligned}\quad (74)$$

می‌بینیم با در نظر گرفتن ناهم‌سان‌گردی در پتانسیل گرانشی، پتانسیل‌ی که حرکت آونگ را توصیف می‌کند پتانسیل یک نوسان‌گر ناهم‌سان‌گرد است. البته این ناهم‌سان‌گردی کوچک است، که یعنی α و β و ϵ کوچک اند؛ اما چه قدر کوچک؟ آن‌ها را تخمین بزنیم. پتانسیل گرانش زمین با تقریب خوب‌ی چنین است [8]:

$$\phi = -\frac{GM}{R} \left[\frac{R}{r} - \left(\frac{R}{r}\right)^2 \frac{J_2}{2} (3 \cos^2 \theta - 1) \right], \quad (75)$$

که در این جا M جرم زمین، R شعاع زمین، و J_2 یک ثابت بی‌بعد است.

$$J_2 = 1.08 \times 10^{-3}, \quad R = 6.378 \times 10^6 \text{ m}. \quad (76)$$

این پتانسیل را حول نقطه‌ی (r, θ, φ) بسط بدهیم، البته تنها در امتدادها‌ی θ و φ (زیرا برای آونگ z ، یعنی r با دقت خوب‌ی ثابت است). تغییر جمله‌ی چهارقطبی‌ی پتانسیل چنین خواهد بود:

$$\delta \left(\frac{1}{2} (3 \cos^2 \theta - 1) \right) = -\frac{3}{2} \sin 2\theta \delta\theta - \frac{1}{2!} \frac{3}{2} 2 \cos 2\theta (\delta\theta)^2. \quad (77)$$

جمله‌ی مرتبه‌ی اول باعث می‌شود شاغول در راستای \hat{r} نایستند؛ اما ما z را با راستای شاغول تعریف می‌کنیم. به عبارت دیگر، وقت‌ی پتانسیل را به شکل $g_0 z + \delta\phi$ می‌نویسیم، جمله‌ی که در $\delta\theta$ از مرتبه‌ی اول است در خود $g_0 z$ آمده است. آن چه می‌ماند جمله‌ی مرتبه‌ی دوم در $\delta\theta$ است. اگر این را بر حسب عرض جغرافیایی، λ ، بنویسیم، و به یاد بیاوریم که محور y را در امتداد نصف‌النهار و رو به شمال گرفته بودیم، می‌بینیم

$$\delta\theta = -\delta\lambda = -\frac{y}{R} \quad (78)$$

و از این جا

$$\phi = g_0 z - \frac{GM}{R} J_2 \frac{y^2}{R^2} \cos 2\lambda$$

$$\begin{aligned}
 &= g_0 z - \frac{GM}{R^2} \frac{1}{R} J_2 y^2 \\
 &= g_0 z - \frac{g_0 J_2}{R} y^2
 \end{aligned} \tag{79}$$

یعنی با نمادگذاری ی-قبلی مان،

$$\beta \sim \frac{g_0 J_2}{R} \sim 10^{-9} \text{ s}^{-2}. \tag{80}$$

این عدد در مقایسه با ω^2 ی-آونگ بسیار کوچک است، و باعث می شود ω از مرتبه ی- 10^{-9} تغییر کند، زیرا

$$\sqrt{\omega^2 + \beta} \simeq \omega \left(1 + \frac{\beta}{2\omega^2} \right) \Rightarrow \frac{\delta\omega}{\omega} \simeq \frac{\beta}{2\omega^2} \sim 10^{-9}. \tag{81}$$

تغییرات بس آمد-آونگ، بر اثر-چرخش-زمین، از مرتبه ی- 10^{-5} ϱ/ω است. بنا بر این چهارقطبی ی-گرانشی ی-زمین عامل-چندان مهم ی در ناهم سان گرد شدن-آونگ نیست.

آیا ناهم گنی ها ی-موضعی مهم اند؟ برای-تخمین فرض کنیم کره ای به شعاع R و چگالی ی- ρ در فاصله ی- L از آزمایش گاه باشد.⁴ با تحلیل-ابعادی می توان انتظار داشت که این باعث-تغییر-پتانسیل-گرانشی بشود، طوری که ضرایب α و β و ϵ که بالاتر معرفی شدند از مرتبه ی-زیر باشند.

$$\alpha, \beta, \epsilon \sim \frac{4G R^3 \rho}{L^3}. \tag{82}$$

برای $L \sim 1$ و $\frac{R}{L} \sim 1$ ، $\rho \sim 5 \times 10^3 \text{ kg/m}^3$ ، خواهیم داشت

$$\alpha, \beta, \epsilon \sim 10^{-6} \text{ s}^{-2}. \tag{83}$$

بنا بر این می بینیم که ناهم سان گردی ها یی در پتانسیل-گرانش از مرتبه ی- 10^{-6} s^{-2} اصلاً بعید نیست. اما تأثیر-این ها بر بس آمد-آونگ چیست؟ دقت کنیم که پتانسیل-مسئله به شکل-یک فرم-درجه ی-2 است.

$$\phi = \frac{1}{2} [x \ y] \begin{pmatrix} \omega^2 + \alpha & \epsilon \\ \epsilon & \omega^2 + \beta \end{pmatrix} \begin{bmatrix} x \\ y \end{bmatrix}. \tag{84}$$

می دانیم که با انتخاب-دو محور-مناسب، که برهم عمود هم هستند، می توانیم این فرم را قطری کنیم. اگر X و Y این محورها باشند، خواهیم داشت

$$\phi = \frac{1}{2} [\omega_1^2 X^2 + \omega_2^2 Y^2]. \tag{85}$$

⁴ یک حفره هم درست چنین اثری دارد، اما با علامت-برعکس.

در این جا ω_1 و ω_2 ویژه‌مقدارها ی ماتریس فوق اند. حساب کردن آنها سخت نیست.

$$\omega_{1,2}^2 = \omega^2 + \frac{\alpha + \beta}{2} \pm \sqrt{\frac{1}{4}(\alpha - \beta)^2 + \epsilon^2}. \quad (86)$$

نکته ی مهم این است که اگر α و β و ϵ ، که خیلی ی کوچک اند، از مرتبه ی $\bar{\alpha}$ باشند $\delta\omega/\omega$ از مرتبه ی $\bar{\alpha}/\omega^2$ است.

$$\frac{\delta\omega}{\omega} \sim \frac{\bar{\alpha}}{\omega^2} \sim \frac{\bar{\alpha} \ell}{g}. \quad (87)$$

این فرمول می گوید که ناهم سان گردی ی بس آمد ی آونگ، متناسب با طول ی آونگ است. پس هر چه آونگ بلندتر باشد، ناهم سان گردی مهم تر است.

7 تأثیر ناهم سان گردی

پس، پتانسیل ی که نوسان ی آونگ را می دهد به شکل عمومی ی یک نوسان گر ناهم سان گرد است. چنین نوسان گردی دو محور اصلی دارد که برهم عمود اند. دو بس آمد اصلی خواهیم داشت، که اگر میدان ی گرانش هم سان گرد می بود، یک ی می بودند. اکنون این دو بس آمد کم ی با هم اختلاف دارند، به دو علت: یک ی ناهم سان گردی ی زمین، دیگری چرخش ی زمین (این را خواهیم دید). باید دید ویژه تابعها ی مختل شده چه هستند؟ این کار امروز برا ی ما آشنا است: نظریه ی اختلال ی حالتها ی تبه گن در مکانیک ی کوانتمی را به یاد بیاورید! اما در دهه ی 1870، ریاضیات ی ویژه‌مقدارها و ویژه بردارها، و روش ی اختلال ی تبه گن، به هیچ وجه جزو مطالب متعارف فیزیک نبود؛ نه در فیزیک نظری، و نه در فیزیک تجربی. اما کامرلینخ اُیس، برا ی حل ی یک مسئله ی کاملاً تجربی، این روش را به کار می برد، و استادانه هم به کار می برد (این را مقایسه کنید با مقاومت ی که معمولاً دانش جوها ی فیزیک ی ما در برابر روشها ی ریاضی نشان می دهند).

محورها ی مختصات را چنان می گیریم که x و y محورها ی اصلی باشند، و x متناظر باشد با ویژه بس آمد ی بزرگ تر، و xyz راست گرد باشد. در این مختصه ها معادله ها ی حرکت چنین اند:

$$\begin{cases} \ddot{x} - 2\Omega \dot{y} + \omega_1^2 x = 0, \\ \ddot{y} + 2\Omega \dot{x} + \omega_2^2 y = 0. \end{cases} \quad (88)$$

ω_1 و ω_2 دو بس آمد ی بسیار نزدیک به هم هستند. بنویسیم،

$$\omega_1 = \omega + \delta, \quad \omega_2 = \omega - \delta. \quad (89)$$

برا ی آن که عملیات ی جبری ساده تر شوند، واحدها را چنان بگیریم که $\omega = 1$ باشد؛ این یعنی واحد ی

زمان را چنان بگیریم که دوره ی تناوب آونگ 2π باشد. به این ترتیب با دو معادله ی جفت شده ی زیر مواجه ایم.

$$\begin{cases} \ddot{x} - 2\varrho \dot{y} + (1 + \delta)^2 x = 0 \\ \ddot{y} + 2\varrho \dot{x} + (1 - \delta)^2 y = 0 \end{cases} \quad (90)$$

روش ی که برا ی حل مسئله بدون در نظر گرفتن ناهم سان گردی ی میدان گرانش در پیش گرفتیم در این جا مفید نیست. ببینیم چرا.

معادله را به شکل ماتریسی ی زیر می نویسیم.

$$\ddot{X} - 2\varrho J \dot{X} + K_0 X = 0, \quad K_0 = \begin{pmatrix} 1 + 2\delta & 0 \\ 0 & 1 - 2\delta \end{pmatrix}. \quad (91)$$

در نوشتن این شکل دقت کرده ایم که δ کوچک است (از δ^2 صرف نظر کرده ایم). اکنون اگر باز هم بنویسیم $X = SQ$ ، با انتخاب $S = \exp(\varrho t J)$ معادله به شکل زیر در می آید.

$$\ddot{Q} + (1 + \varrho^2) Q + 2\delta \cdot B(t)Q = 0, \quad B = \begin{pmatrix} -\cos 2\varrho t & \sin 2\varrho t \\ \sin 2\varrho t & \cos 2\varrho t \end{pmatrix} \quad (92)$$

متأسفانه B وابسته به زمان است، و زمان مشخصه ی تغییرش نصف دوره ی تغییر S است. اگر δ صفر بود، این تغییرتابع مسئله را حل می کرد، اما حالا که δ صفر نیست باید فکر دیگری بکنیم.

8 وجه های طبیعی

در آزمایش گاه دیده ایم که نوسان به شکل بیضی می شود، پس حل را به شکل زیر حدس می زنیم.

$$\begin{cases} x(t) = a \cos[(1 + \Delta)t + \varphi], \\ y(t) = b \sin[(1 + \Delta)t + \varphi]. \end{cases} \quad (93)$$

در این فرمول Δ بس آمدی است که هنوز نمی دانیم چیست، و a و b دو ثابت اند (a را با شعاع و زنه ی آونگ اشتباه نکنید). دقت کنید که به این ترتیب نقطه ی $(x(t), y(t))$ روی یک بیضی

حرکت می کند، زیرا

$$\frac{x^2}{a^2} + \frac{y^2}{b^2} = 1. \quad (94)$$

اکنون کافی است مشتق بگیریم، و در معادله جاگذاری کنیم. خواهیم داشت

$$\begin{cases} -a(1 + \Delta)^2 - 2b\varrho(1 + \Delta) + a(1 + \delta)^2 = 0 \\ -b(1 + \Delta)^2 - 2a\varrho(1 + \Delta) + b(1 - \delta)^2 = 0 \end{cases} \quad (95)$$

اگر این رابطه را جمع و جور کنیم (و البته از توان‌ها یِ دومی δ و Δ ، و حاصل ضرب $\Delta \varrho$ صرف نظر کنیم) می‌رسیم به معادله یِ ماتریسی یِ

$$LU = \Delta U, \quad (96)$$

که در آن

$$L := \begin{pmatrix} \delta & -\varrho \\ -\varrho & -\delta \end{pmatrix}, \quad U := \begin{pmatrix} a \\ b \end{pmatrix}. \quad (97)$$

این یعنی بردار U ویژه بردار L ماتریس L است، و Δ ویژه مقدار L این ماتریس است. به دست آوردن L ویژه مقادیر سراسر است.

$$\Delta = \pm A, \quad A = \sqrt{\delta^2 + \varrho^2}. \quad (98)$$

چون ماتریس L متقارن و حقیقی است، ویژه بردارها یش بر هم عمود اند. ویژه بردارها را یکه می‌گیریم. به این ترتیب ویژه بردار L متناظر با $\Delta = -A$ بردار یِ است مثل $\begin{pmatrix} \sin \beta \\ \cos \beta \end{pmatrix}$ ، و ویژه بردار L متناظر با $\Delta = A$ قطعاً عمود بر این بردار است، یعنی $\begin{pmatrix} -\cos \beta \\ \sin \beta \end{pmatrix}$. با جاگذاری یِ این‌ها در معادله یِ ویژه مقداری می‌بینیم

$$\tan \beta = \frac{\varrho}{A + \delta}. \quad (99)$$

پس تا این جا فهمیدیم که معادله یِ حرکت L آونگ، با فرض L ناهم سان گردی یِ میدان L گرانش و در نظر گرفتن L نیرو یِ کوریولی، دو حل L بیضی شکل دارد که عبارت اند از:

$$\psi_+(t) = \begin{pmatrix} x(t) \\ y(t) \end{pmatrix} = \begin{pmatrix} -\cos \beta \cos [(1+A)t + \varphi_1] \\ +\sin \beta \sin [(1+A)t + \varphi_1] \end{pmatrix} \quad (100)$$

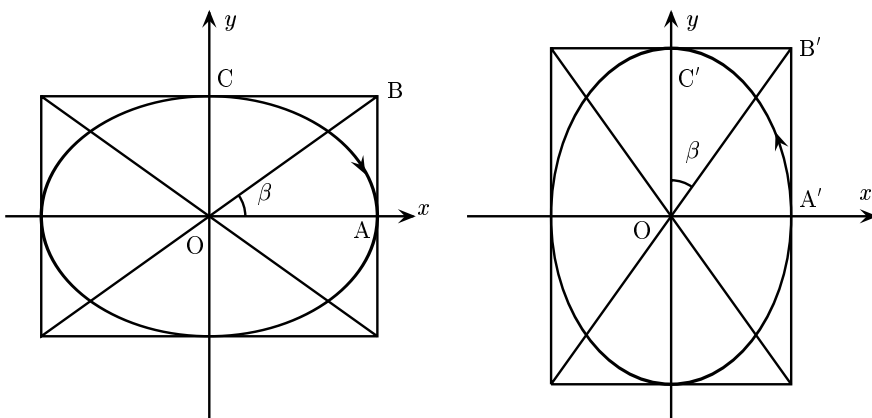
$$\psi_-(t) = \begin{pmatrix} x(t) \\ y(t) \end{pmatrix} = \begin{pmatrix} \sin \beta \cos [(1-A)t + \varphi_2] \\ \cos \beta \sin [(1-A)t + \varphi_2] \end{pmatrix} \quad (101)$$

ψ_+ بیضی ای است که محورهای یش موازی یِ x و y است، و با گذشت L زمان در جهت L عقربه‌ها یِ ساعت پیموده می‌شود. ψ_- بیضی است که محورهای یش موازی یِ x و y است، اما عمود بر بیضی یِ ψ_+ است. ضمناً ψ_- در خلاف L جهت L عقربه‌ها یِ ساعت پیموده می‌شود. ψ_+ و ψ_- دو ویژه تابع L معادله‌ها یِ حرکت اند. می‌توان در آزمایش گاه آونگ را چنان راه انداخت که در یک L از این دو ویژه حالت باشد. در این صورت با گذشت L زمان چیزی عوض نمی‌شود (جز کم شدن L تدریجی یِ دامنه، که نتیجه یِ اصطکاک است). اما چون معادله یِ دیفرانسیل L تحوّل خطی

$$\begin{aligned} \psi_+ \\ OB &= 1 \\ OA &= \cos \beta \\ OC &= \sin \beta \end{aligned}$$

$$\begin{aligned} A &= \sqrt{\varrho^2 + \delta^2} \\ \tan \beta &= \frac{\varrho}{A + \delta} \end{aligned}$$

$$\begin{aligned} \psi_- \\ OB' &= 1 \\ OA' &= \sin \beta \\ OC' &= \cos \beta \end{aligned}$$



شکل ۳: قطبش‌های ساعت‌گرد و پادساعت‌گرد - آونگ - فوکو (ψ_{\pm}). توجه کنید که اگر δ صفر باشد، $A = \varrho$ و $\beta = \pi/4$ است و این دو بیضی می‌شوند دو دایره. اگر ϱ صفر باشد $\beta = 0$ است و این دو بیضی می‌شوند دو خط - راست - عمود بر هم. در استوا ϱ صفر است.

است، می‌توان آونگ را در ترکیب ی خطی از این دو وجه - طبیعی به نوسان واداشت، یعنی حل‌ها بی داریم به شکل -

$$\psi(t) = E \psi_+(t) + F \psi_-(t) \quad (102)$$

که در این جا E و F دو ثابت اند. بس آمدها ی ψ_{\pm} با هم فرق دارند، این‌ها را ω_{\pm} بنامیم، داریم

$$\psi_{\pm} \leftrightarrow \omega_{\pm} = 1 \pm A. \quad (103)$$

به یاد بیاوریم که واحدها را چنان گرفته بودیم که $\omega = 1$ بود. در واحدها ی - متداول (مثلاً SI) خواهیم داشت

$$\psi_{\pm} \leftrightarrow \omega_{\pm} = \omega \pm A. \quad (104)$$

اختلاف - این دو بس آمد $2A$ است. تابع - $\psi(t)$ مجموع - دو تابع - تناوبی است، با بس آمدها ی - مختلف، با اختلاف - کم. پس پدیده ی - ضربان دیده خواهد شد، با بس آمد - $2A$ یعنی دوره ی -

$$T = \frac{2\pi}{2A} = \frac{\pi}{\sqrt{\omega^2 + \delta^2}}. \quad (105)$$

دقت کنیم که

$$2A = 2\sqrt{\omega^2 + \delta^2} \approx 10^{-5} \text{ Rad/s}. \quad (106)$$

پیش از ادامه، یک نکته هست که خوب است روشن کنیم. بس آمد - آونگ به دامنه بسته گی دارد (فرمول 9 را نگاه کنید). برا ی - دو دامنه ی - $\alpha = 0.10$ و $\bar{\alpha} = 0.05$ داریم

$$\begin{aligned} \omega &= \sqrt{\frac{g}{\ell}} \left(1 - \frac{\alpha^2}{16}\right) = (1 - 6.3 \times 10^{-4}) \sqrt{\frac{g}{\ell}} \\ \bar{\omega} &= \sqrt{\frac{g}{\ell}} \left(1 - \frac{\bar{\alpha}^2}{16}\right) = (1 - 1.6 \times 10^{-4}) \sqrt{\frac{g}{\ell}} \end{aligned} \quad (107)$$

که یعنی $|\omega - \bar{\omega}|/\omega \approx 4 \times 10^{-4}$ است. آیا این جمله مهم تر است یا اثر - بی تقارنی ی - میدان - گرانش؟ نکته این جا است که هر چند تغییر ی که بس آمد - آونگ بر اثر - تغییر - دامنه می کند بزرگ تر است، اما بر اثر - تغییر - دامنه هم سان گرد بودن - نوسان تغییر نمی کند. آن چه در بالا نشان دادیم این بود که بر اثر - بی تقارنی ها ی - میدان - گرانش بس آمد - آونگ به راستا بسته گی پیدا می کند. این اختلاف - بس آمد - دو راستا است که مهم است، نه مقدار - مطلق - ω . در واقع، در تمام - بحث - پیش منظور از ω همان مقدار ی است که به دامنه بسته گی دارد، و این ω است که به راستا ی - نوسان هم بسته گی خواهد داشت.

9 تحلیل

آزمایش - کلاسیک - فوکو این است که در آغاز آونگ را در امتداد یک خط به نوسان واداریم. یعنی مثلاً

$$\psi(0) = \begin{pmatrix} x(0) = D \cos \vartheta \\ y(0) = D \sin \vartheta \end{pmatrix} \quad \dot{\psi}(0) = \begin{pmatrix} \dot{x}(0) = 0 \\ \dot{y}(0) = 0 \end{pmatrix} \quad (108)$$

در $t = 0$ داریم $\psi(0) = E \psi_+(0) + F \psi_-(0)$ ، یعنی

$$\begin{aligned} D \cos \vartheta &= -E \cos \beta \cos \varphi_1 + F \sin \beta \cos \varphi_2 \\ D \sin \vartheta &= +E \sin \beta \sin \varphi_1 + F \cos \beta \sin \varphi_2. \end{aligned} \quad (109)$$

از طرفی با مشتق‌گیری از $\psi_{\pm}(t)$ داریم

$$\dot{\psi}_+(0) = \begin{pmatrix} \dot{x}(0) = +(1+A) \cos \beta \sin \varphi_1 \\ \dot{y}(0) = +(1+A) \sin \beta \cos \varphi_1 \end{pmatrix} \quad (110)$$

$$\dot{\psi}_-(0) = \begin{pmatrix} \dot{x}(0) = -(1-A) \sin \beta \sin \varphi_2 \\ \dot{y}(0) = +(1-A) \cos \beta \cos \varphi_2 \end{pmatrix} \quad (111)$$

باید داشته باشیم

$$\dot{\psi}(0) = E \dot{\psi}_+(0) + F \dot{\psi}_-(0), \quad (112)$$

که یعنی

$$\begin{aligned} 0 &= +(1+A) E \cos \beta \sin \varphi_1 - (1-A) F \sin \beta \sin \varphi_2 \\ 0 &= +(1+A) E \sin \beta \cos \varphi_1 + (1-A) F \cos \beta \cos \varphi_2. \end{aligned} \quad (113)$$

به این ترتیب چهار معادله داریم برای چهار مجهول (E و F و φ_1 و φ_2). این چهار معادله را می‌توان حل کرد، و $\psi(t)$ به دست می‌آید. کامرلینخ اُنس این‌ها را حل می‌کند، و در باره‌ی جواب‌ها ی. آن‌ها به تفصیل و به دقت بحث می‌کند. جواب، با فرض $D = 1$ ، این است:

$$x(t) = \cos \vartheta (\cos \omega t \cos At - \cos 2\beta \sin \omega t \sin At) + \sin \vartheta \sin 2\beta \cos \omega t \sin At,$$

$$y(t) = \sin \vartheta (\cos \omega t \cos At + \cos 2\beta \sin \omega t \sin At) - \cos \vartheta \sin 2\alpha \cos \omega t \sin At.$$

توصیف حرکت آونگ، گاه بسیار پیچیده است. برای دیدن خلاصه‌ی بحث به [7] مراجعه کنید.

اگر میدان گرانش مؤثر، تقارن سمتی داشته باشد δ صفر است، و بنا بر این $A = \mathbb{Q}$ ، و از این جا $\beta = \frac{\pi}{4}$ است. در این حالت دو بیضی ψ_{\pm} تبدیل به دایره می شوند. وضعیت کاملاً شبیه انتشار نور قطبیده در محیط‌ها یی است که سرعت نور برای قطبش‌ها ی راست گرد و چپ گرد فرق دارد. یک مثال حرکت موج در پلاسما یی است که در آن یک میدان مغناطیسی در راستای انتشار نور وجود داشته باشد (اثر فارادی^m). در چنین مواردی، اگر یک نور خطی قطبیده در محیط منتشر شود، راستای قطبش ثابت نمی ماند، بل که به آرامی می چرخد. پیش روی ی آونگ فوکو، در یک میدان گرانش با تقارن سمتی درست چنین چرخش ی است.

کامرلینخ اُنس علاوه بر تحلیل مدارها، دوباره آزمایش می کند. وزنه ی آونگ را کم ی نامتقارن می کند تا دوس آمد تقریباً برابر شوند. در این حالت آونگ همان رفتاری را از خود نشان می دهد که در نبود ناهم سان گری انتظار داریم.

10 آونگ‌ها ی کوتاه

نیاز به آونگ ی که چند ساعت ی نوسان کند فوکو و دیگران را بر آن داشت که آونگ را حتی المقدور بلند و سنگین انتخاب کنند. اما، فرض کنید بتوانیم به طریقی در هر دوره ی آونگ، انرژی ای را که در آن دوره از دست داده به آونگ بازگردانیم بی آن که گشت آوری به آن وارد کنیم. در این صورت لازم نیست آونگ بلند و سنگین باشد. ضمناً، پیش تر دیدیم که ناهم سان گردی ی بس آمد متناسب با طول آونگ است.

ساختن آونگ فوکو با طول کوچک تر از متر در قرن بیستم ممکن شد. اساس این کار این است که وزنه ی آونگ آهن، یا آهن ربا ی دائمی باشد، و در زیر آونگ یک آهن ربا ی الکتریکی هر بار که آونگ به بالاترین نقطه ی مسیرش می رسد روشن شود و آهن ربا را کم ی جذب کند، درست به اندازه ی لازم، و درست در امتداد خط واصل از مکان وزنه ی آونگ به نقطه ی تعادل پای دار آونگ [9]. به این ترتیب آونگ‌ها یی با طول حدود 70 cm ساخته شده که به دیوار نصب می شود و دائماً کار می کند [10]. چنین آونگ‌ها یی برای آزمایش گاه‌ها ی فیزیک عمومی بسیار مناسب اند، اما باید توجه کرد که با تنظیم آهن ربا ی زیر آونگ و کنترل الکترونیکی اش، می توان آونگ را به هر شکل ی به نوسان در آورد. حتّاً می توان کاری کرد که در خلاف جهت یک آونگ فوکو ی واقعی پیش روی کند.

این کلک کار گذاشتن یک آهن ربا ی الکتریکی در زیر آونگ را گاه برای آونگ‌ها ی فوکو ی بلند هم به کار می برند. مثلاً آونگ ی که در ساختمان دانش کده ی فیزیک دانش گاه

11 سپاس‌گزاری

از محمد خرمی و فرهنگ لران، به خاطر تذکرها ی۔ خوب ـ شان سپاس گزار ام.

12 مراجع

- [1] I. Bernard Cohen, *The Birth of a New Physics*, Anchor Books, Now York, 1960, Plate I.
- [2] Keith R. Symon, *Mechanics*, 3^{ed} edition, Addison-Wesley, 1971,
- [3] John B. Hart, Raymond E. Miller, Robert L. Mills, "Simple geometric model for visualizing the motion of a Foucault pendulum", *American Journal of Physics*, vol. 55 (1987), no. 1, pp. 67-70. (1987)
- [4] J. J. Duistermaat, J. A. C. Kolk, *Multidimensional Real Analysis I*, Cambridge University Press, 2004, pp. 362-363.
- [5] Willard A. Brown, "Suspension for Foucault Pendulum" *American Journal of Physics* vol. 29 (1961) p. 646
- [6] William Tobin, *The Life and Science of Léon Foucault: The Man Who Proved the Earth Rotates*, Cambridge University Press, 2003, p. 147.
- [7] E. O. Schultz-DuBois, "Foucault Pendulum Experiment by Kamerlingh Onnes and Degenerate Perturbation Theory", *American Journal of Physics*, vol. 38 (1970), no. 2, pp. 173-188.
- [8] O. Montenbruck, E. Gill, *Satellite Orbits, Models, Methodes, Applications*, Springer, 2000, pp. 56-61.
- [9] R. Stuart Mackay, "Sustained Foucault Pendulums", *American Journal of Physics*, vol 21 (1953) pp. 180-183.

[10] Wallace A. Hilton, "The Foucault pendulum: A corridor demonstration", *American Journal of Physics*, vol 46 (1978) no. 4, pp. 436-438.

نام‌های خاص

- a) Heike Kamerling Onnes, b) Marin Mersenne, c) Galileo Galilei, d) René Descartes,
e) Isaac Newton, f) Jean Bernard Léon Foucault, g) Gaspare-Gustave de Coriolis
h) Tullio Levi-Civita, i) Osborne Reynolds, j) Panthéon k) Gustav Kirchhoff,
l) Geroningen, m) Michael Faraday,